

X1-018 (2003/08/28)

اثر - جو - زمین بر شکل و اندازه ی ظاهری ی اجسام

mamwad@mailaps.org

محمد خرمی

اثر_شکست_ نور در جو_ زمین بر اندازه و شکل_ ظاهری ی اجسام بررسی می شود.
نشان داده می شود این پدیده که اجسام در نزدیکی ی افق بزرگتر می نمایند، ته یک پدیده ی فیزیکی بل که یک پدیده ی روان شناختی است، اما این پدیده که اجسام در نزدیکی ی افق پخ می نمایند، فیزیکی است.

0 مقدمه

چگالی ی جو_ زمین یک نواخت نیست. به همین خاطر نوری که وارد - جو_ زمین می شود می شکند و این شکست، بر اندازه و شکل_ ظاهری ی اجسام (از جمله ماه و خورشید) مئراست. جهت_ مثبت_ محور_ \hat{z} را جهت_شعاعی در نقطه ی مشاهده در سطح_ زمین و به طرف_ بیرون می گیریم. هر جهت را می شود با (θ, ϕ) مشخص کرد، که زاویه های مختصات_ کروی با این محور_ \hat{z} و به مرکز_ نقطه ی مشاهده اند. به خاطر_ شکست_ نور در جو، پرتویی که ظاهراً از جهت_ (θ_0, ϕ_0) می آید، در واقع از جهت_ (θ, ϕ) آمده است. با معلوم بودن_ ضریب_ شکست در جو، بسته گی ی (θ, ϕ) به

اثر_جو_زمین بر شکل و اندازه ی ظاهری ی اجسام

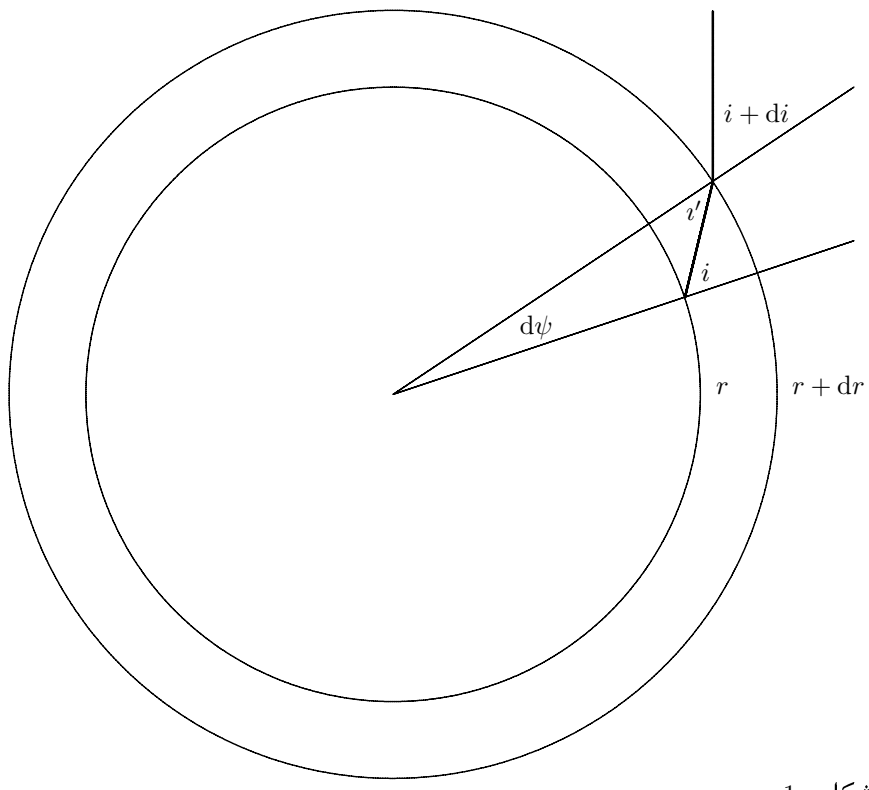
(θ_0, ϕ_0) به دست می آید. از اینجا می شود اندازه (ی زاویه‌ای) ی و شکل - واقعی جسم را بر حسب مشخصات ظاهری ی آن به دست آورد. به ویژه، می خواهیم بینیم پدیده ی درشت‌دیدن - ماه و خورشید در نزدیکی ی افق، و بیضی دیدن - قرص - ماه و خورشید در نزدیکی ی افق، فیزیکی (ناشی از شکست نور) است یا روان‌شناختی. دریک مدل - ساده برا ی جو، فرض می کنیم چگالی ی جوتابع - فقط ارتفاع (یا فاصله تا مرکز_زمین) است. از اینجا نتیجه می شود زاویه‌ها ی سمتی ی ϕ و θ_0 برابر‌اند:

$$\phi = \phi_0, \quad (1)$$

و θ همتابع θ_0 است. با به دست آوردن - بسته‌گی ی θ به θ_0 ، شکل و اندازه ی زاویه‌ای ی واقعی ی هر جسم بر حسب مشخصات ظاهری ی آن به دست می آید. اگر اندازه ی زاویه‌ای ی جسم - موردنظر کوچک باشد، آن‌گاه رابطه ی مشخصه‌ها ی ظاهری و واقعی به فقط زاویه ی جهت - مشاهده ی جسم با جهت - رویه بالا بسته‌گی دارد.

1 مسیر_نور در جو

زمین را یک کره ی کامل به شعاع R می‌گیریم، و فاصله ی هر نقطه در جو با مرکز_زمین را با r و ضریب شکست در جو را با $n(r)$ نشان می‌دهیم. مختصات کروی ی (r, ψ, ϕ) را با همان محور z که در بخش - قبل تعریف شد، اما با مبدئ منطبق بر مرکز_زمین در نظر می‌گیریم. مسیر یک باریکه ی نور در جو را با $(r, \psi, n(r))$ نشان می‌دهیم. (با فرض ی که در باره ی ضریب شکست شد، ϕ مستقل از r است). به این ترتیب، θ_0 برابر است با زاویه ی باریکه در $R = r$ ، با محور z ; و θ برابر است با مقدار ψ در حد $\infty \rightarrow r$. زاویه ی باریکه با جهت شعاعی را با α نشان می‌دهیم. شکل 1 هندسه ی شکست نور را نشان می‌دهد.



شکل ۱

از قانون سینیل [a]—دکرت [b]

$$\frac{\sin(i + di)}{\sin i'} = \frac{n}{n + dn}. \quad (2)$$

همچنین، از روی شکل ۱ دیده می‌شود

$$i' = i - d\psi, \quad (3)$$

و

$$\begin{aligned} r d\psi &= (\tan i') dr, \\ &= (\tan i) dr. \end{aligned} \quad (4)$$

رابطه‌ها ی اخیر، تا مرتبه یک درست اند. از این‌جا،

$$\frac{\sin i + (\cos i) di}{\sin i - r^{-1}(\cos i \tan i) dr} = 1 - \frac{dn}{n}, \quad (5)$$

یا

$$(\cot i) di + \frac{dr}{r} + \frac{dn}{n} = 0, \quad (6)$$

که نتیجه می‌دهد

$$n r \sin i = C. \quad (7)$$

مقداری ثابت است. از ترکیب (4) با (7)، دیده می‌شود

$$\frac{d\psi}{dr} = \frac{\frac{C}{nr^2}}{\sqrt{1 - \frac{C^2}{n^2 r^2}}}, \quad (8)$$

یا

$$\frac{d\psi}{du} = -\frac{\frac{N \sin \theta_0}{n}}{\sqrt{1 - \left(\frac{N \sin \theta_0}{n} u\right)^2}}, \quad (9)$$

که

$$u := \frac{R}{r},$$

$$N := n(r = R), \quad (10)$$

و ثابت C هم بر حسب N, R ، و θ_0 بیان شده است. در $r = R$ (نقطه ی مشاهده) ψ صفر است. به این ترتیب،

$$\psi(r \rightarrow \infty) = \int_0^1 du \frac{\frac{N \sin \theta_0}{n}}{\sqrt{1 - \left(\frac{N \sin \theta_0}{n} u\right)^2}}, \quad (11)$$

واز آنجا،

$$\theta = \int_0^1 du \frac{\sin \theta_0}{\sqrt{(n/N)^2 - (u \sin \theta_0)^2}}. \quad (12)$$

در محیط‌ها ی رقیق، ضریب شکست به شکل

$$n = 1 + \alpha \rho \quad (13)$$

است، که ρ چگالی و α ثابتی وابسته به جنس محیط است. (اگر ملکول‌ها ی سازنده ی محیط دوقطبی ی الکتریکی ی دائمی داشته باشند، این ثابت به دما هم بسته‌گی دارد.) این رابطه وقتی درست است که انحراف ضریب شکست از ۱ کوچک باشد [1]. به این ترتیب،

$$\begin{aligned} \frac{n}{N} &= 1 + \alpha (\rho - \rho_0), \\ &= 1 + \alpha \rho_0 \left(\frac{\rho}{\rho_0} - 1 \right), \end{aligned} \quad (14)$$

که ρ_0 چگالی ی هوا در سطح زمین است، و چون بیشتر جواز ملکول‌ها ی بدون دوقطبی ی دائم ساخته شده، α ثابت فرض شده. عبارت بالا را به این شکل می‌نویسیم.

$$\frac{n}{N} = 1 - \Delta f(u), \quad (15)$$

که

$$\Delta := \rho_0 \alpha = N - 1 = 1 - \frac{1}{N}, \quad (16)$$

و

$$f := 1 - \frac{\rho}{\rho_0}. \quad (17)$$

با استفاده از

$$N = 1.0003, \quad (18)$$

نتیجه می‌شود

$$\Delta = 3 \times 10^{-4}. \quad (19)$$

مقدار f بین ۰ و ۱ است، و

$$\begin{aligned} f(u=0) &= 1, \\ f(u=1) &= 0. \end{aligned} \quad (20)$$

Δ هم ثابت ی کوچک است. به این ترتیب، (12) می‌شود

$$\begin{aligned} \theta &= \int_0^1 du \frac{\sin \theta_0}{\sqrt{1 - (u \sin \theta_0)^2 - 2\Delta f(u)}}, \\ &= \int_0^1 du \frac{\sin \theta_0}{\sqrt{1 - (u \sin \theta_0)^2}} + \Delta \sin \theta_0 \int_0^1 du \frac{f(u)}{[1 - (u \sin \theta_0)]^{3/2}}, \\ &= \theta_0 + \Delta \sin \theta_0 \int_0^1 du \frac{f(u)}{[1 - (u \sin \theta_0)]^{3/2}}. \end{aligned} \quad (21)$$

چگالی ی جو، در فاصله ی کوچک ی از سطح_زمین (کوچک در مقایسه با شعاع_زمین) عملأً صفر می‌شود. بنابراین f یک است، مگر آن که u خیل ی نزدیک به یک باشد. یک تقریب برای f این است که نمودار آن را به شکل دوپاره خط بگیریم:

$$f(u) = \begin{cases} 1, & 0 \leq u \leq 1 - \sigma \\ \sigma^{-1}(1-u), & 1 - \sigma \leq u \leq 1 \end{cases}. \quad (22)$$

ثابت σ از مشتق f در $u=1$ به دست می‌آید:

$$f'(1) = -\frac{1}{\sigma}. \quad (23)$$

یک مدل برای جو_زمین، جو_هم دما است. برای چنین جوی،

$$f = 1 - \exp \left[-\frac{1}{\sigma} \left(\frac{1}{u} - 1 \right) \right], \quad (24)$$

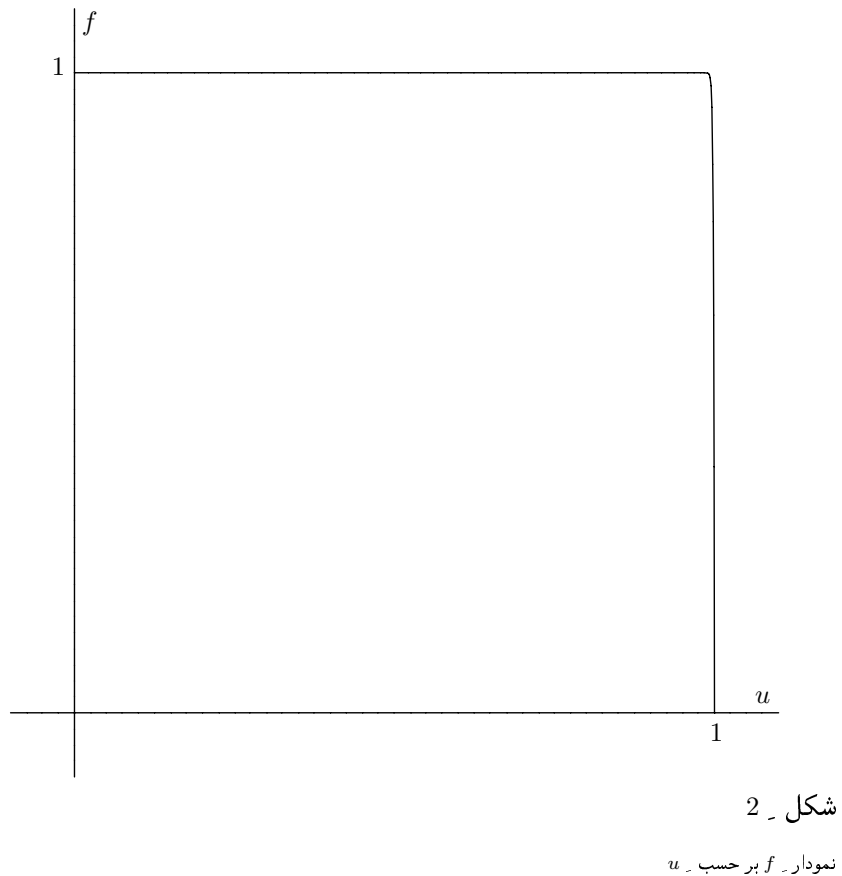
(مثالاً [2]، که

$$\sigma := \frac{L}{R} := \frac{k_B T}{g m R}. \quad (25)$$

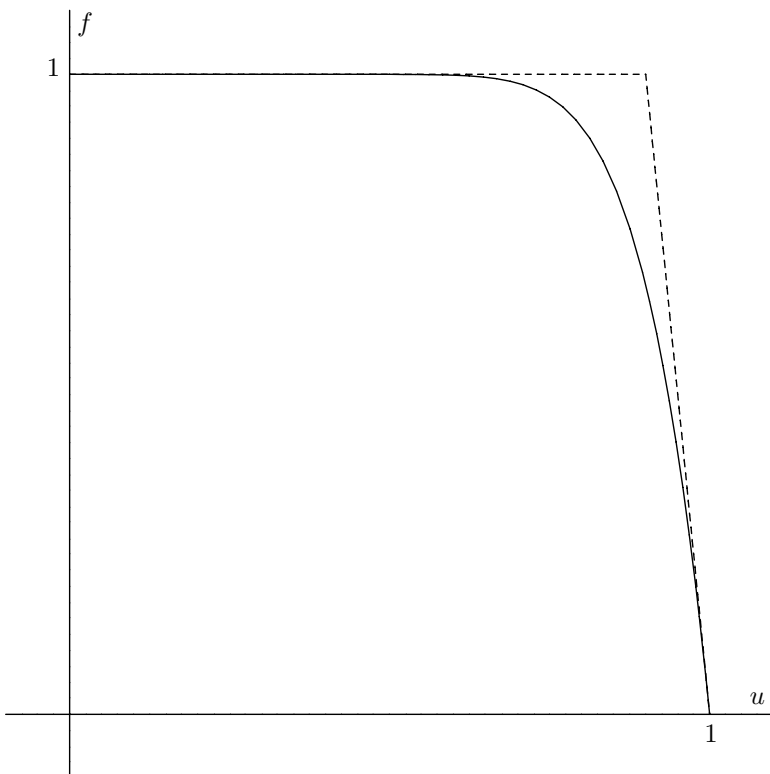
ثابت بُلتس مان $[c]$ ، دما ی مطلق_جو، g شتاب_گرانش، و m جرم_ملکولی ی میانگین_هوا است. L پارامتری با بعد_طول است. با گذاشتن $(N_A m) = 0.029 \text{ kg/mol}$ ، $g = 9.8 \text{ m s}^{-2}$ ، $T = 300 \text{ K}$ ، $(N_A k_B) = 8.3 \text{ J/(molK)}$ و که N_A عدد آوگادرو [d] است)، نتیجه می‌شود

$$\begin{aligned} L &= 8.8 \text{ km}, \\ \sigma &= 0.0014, \end{aligned} \tag{26}$$

که نشان می‌دهد σ واقعاً کوچک است. در واقع اگر نمودار f بر حسب u , و تقریب دوپاره خطی ی آن را بکشیم، با این مقدار σ فقط یک مربع دیده می‌شود، شکل ۲.



شکل ۳ نمودار اغراق‌شده ی f و تقریب آن است. در این نمودار، $\sigma = 0.1$ است.



شکل _ ۳

نمودار f بر حسب u ، به ازای $\sigma = 0.1$. خطچین تقریب f با دو مماس بر آن در $u = 0$ و $u = 1$ را نشان می‌دهد.

چنان که از شکل _ ۲ برمی‌آید، f با تقریب بسیار خوبی ۱ است. اگر θ_0 خیلی به $(\pi/2)$ نزدیک نباشد، انتگرال دهی رابطه f (21) در نزدیکی $u = 1$ خیلی بزرگ نمی‌شود و می‌شود f را ۱ گرفت. در این صورت،

$$\theta = \theta_0 + \Delta \tan \theta_0. \quad (27)$$

این تقریب زمانی معتبر است که جسم مورد مشاهده خیلی نزدیک به افق نباشد. این تقریب، در واقع همارز با این است که جو را لایه ای مسطح بگیریم (وته کروی)، که اگر مسیر نور در جو، در مقایسه با شعاع زمین ناچیز باشد، معقول است. دیده می‌شود در این حالت تنها مشخصه ی جو که وارد می‌شود ضریب شکست در سطح زمین است. با

محاسبه‌ی مستقیم - شکست - نوری که از یک تیغه‌ی مسطح می‌گذرد، نتیجه‌ی می‌شود

$$\sin \theta = N \sin \theta_0. \quad (28)$$

از (16) نتیجه‌ی می‌شود

$$N = 1 + \Delta, \quad (29)$$

که از ترکیب - (28) با آن،

$$\sin \theta_0 + (\theta - \theta_0) \cos \theta_0 = \sin \theta_0 + \Delta \sin \theta_0, \quad (30)$$

که همان (27) است.

براً ی جسم‌ها‌ی نزدیک به افق، تقریب - (27) خوب نیست. یک راه استفاده از تقریب - (22) است. با جاگذاری‌ی این عبارت در (21) نتیجه‌ی می‌شود

$$\begin{aligned} \theta = \theta_0 + \Delta & \left[\frac{(1-\sigma) \sin \theta_0}{\sqrt{1 - (1-\sigma)^2 \sin^2 \theta_0}} - \frac{(1-\sigma) \sin \theta_0}{\sigma \sqrt{1 - (1-\sigma)^2 \sin^2 \theta_0}} \right. \\ & \left. + \frac{1}{\sigma} \tan \theta_0 - \frac{1}{\sigma \sin \theta_0 \cos \theta_0} + \frac{1}{\sigma \sin \theta_0 \sqrt{1 - (1-\sigma)^2 \sin^2 \theta_0}} \right]. \quad (31) \end{aligned}$$

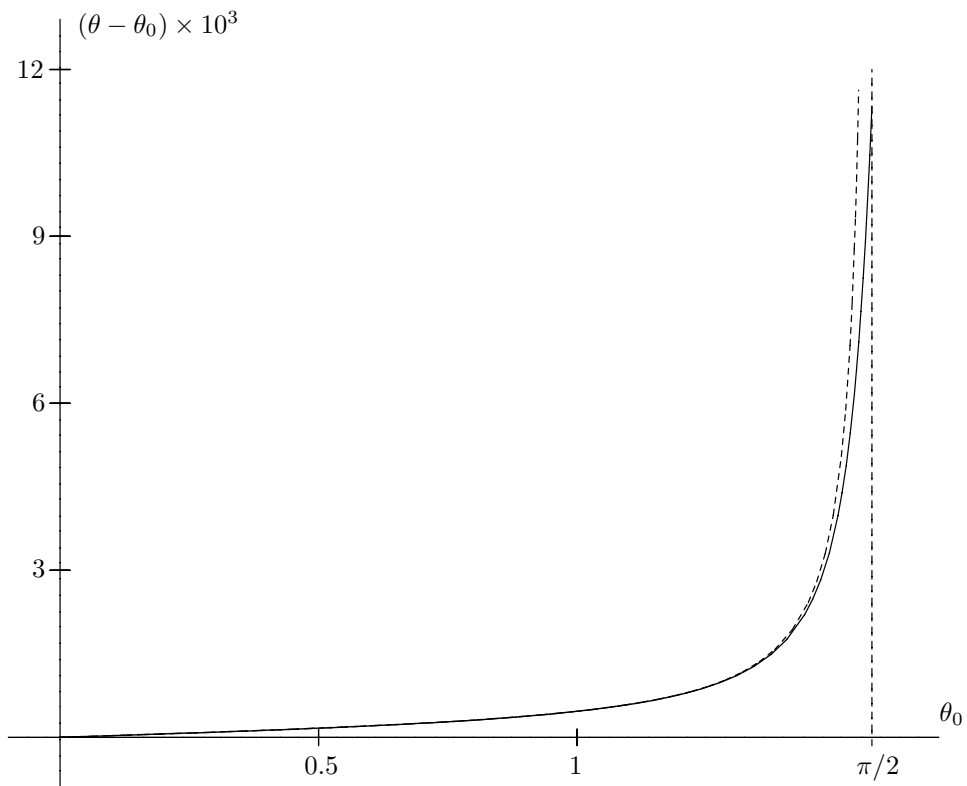
از جمله،

$$\theta \left(\theta_0 = \frac{\pi}{2} \right) = \frac{\pi}{2} + \Delta \sqrt{\frac{2-\sigma}{\sigma}}, \quad (32)$$

که با گذاشتن - مقدارها‌ی عددی‌ی Δ و σ می‌دهد

$$\theta \left(\theta_0 = \frac{\pi}{2} \right) = \frac{\pi}{2} + 0.01. \quad (33)$$

شکل - 4 نمودار - $(\theta - \theta_0)$ بر حسب - θ را نشان می‌دهد.



شکل ۴

نمودار $(\theta - \theta_0)$ بر حسب θ . خط‌چین نمودار $\Delta \tan \theta_0$ بر حسب θ_0 است.

2 اندازه‌ی زاویه‌ای ظاهری و اندازه‌ی زاویه‌ای واقعی

دوبعدی، یکه‌ی $\hat{\mathbf{n}}$ و $\hat{\mathbf{n}}'$ با جهت‌ها بی ترتیب (θ, ϕ) و (θ', ϕ') را در نظر بگیرید. داریم

$$\begin{aligned} \cos \gamma &= \hat{\mathbf{n}} \cdot \hat{\mathbf{n}}', \\ &= \cos \theta \cos \theta' + \sin \theta \sin \theta' \cos(\phi - \phi'), \end{aligned} \quad (34)$$

که γ زاویه‌ی این دوبعدی با هم است. اگر مقدارها بی

$$\begin{aligned}\delta\theta &:= \theta' - \theta, \\ \delta\phi &:= \phi' - \phi\end{aligned}\tag{35}$$

کوچک باشند (جهت‌های این دو بردار به هم نزدیک باشند) (34) را می‌شود ساده‌تر کرد:

$$\cos\gamma = \cos(\theta' - \theta) + \sin\theta \sin\theta' [\cos(\phi' - \phi) - 1],$$

$$\approx 1 - \frac{(\delta\theta)^2}{2} - \frac{\sin^2\theta (\delta\phi)^2}{2},\tag{36}$$

که نتیجه می‌دهد

$$\gamma \approx \sqrt{(\delta\theta)^2 + \sin^2\theta (\delta\phi)^2}.\tag{37}$$

(این نتیجه را با استفاده از شکل عنصر طول در مختصات کروی هم می‌شد به دست آورد.) از اینجا رابطه‌ی اندازه‌ی زاویه‌ای ظاهری و اندازه‌ی زاویه‌ای واقعی به دست می‌آید:

$$\begin{aligned}\frac{\gamma_0}{\gamma} &= \frac{\sqrt{(\delta\theta_0)^2 + \sin^2\theta_0 (\delta\phi_0)^2}}{\sqrt{(\delta\theta)^2 + \sin^2\theta (\delta\phi)^2}}, \\ &= \frac{\sqrt{(\delta\theta_0)^2 + \sin^2\theta_0 (\delta\phi_0)^2}}{\sqrt{(\mathrm{d}\theta/\mathrm{d}\theta_0)^2 (\delta\theta_0)^2 + [(\sin^2\theta)/(\sin^2\theta_0)] \sin^2\theta_0 (\delta\phi_0)^2}}.\end{aligned}\tag{38}$$

در اینجا از این استفاده شده که ϕ و ϕ_0 برابر‌اند. از جمله،

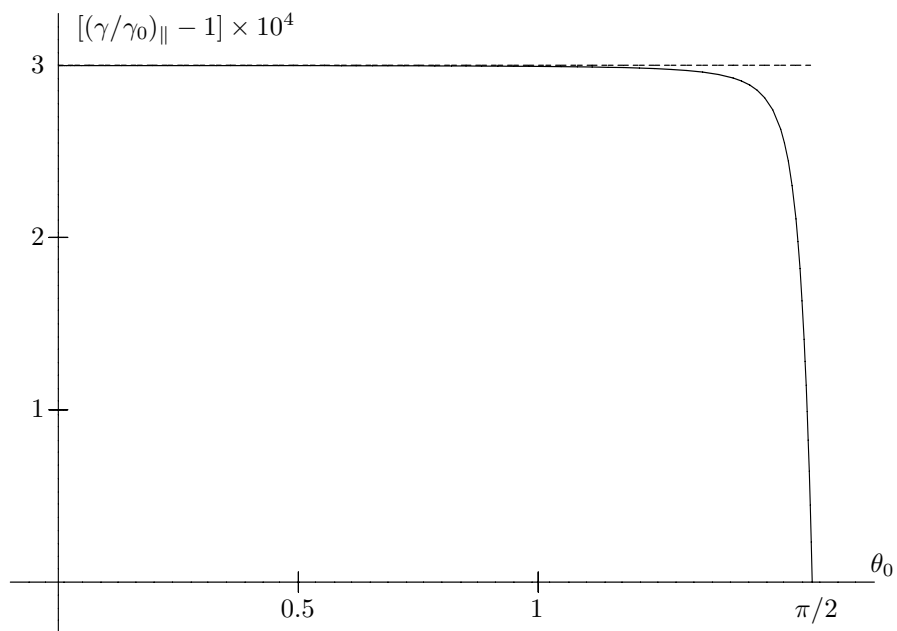
$$\left(\frac{\gamma_0}{\gamma}\right)_\parallel = \frac{\sin\theta_0}{\sin\theta},\tag{39}$$

و

$$\left(\frac{\gamma_0}{\gamma}\right)_\perp = \frac{\mathrm{d}\theta_0}{\mathrm{d}\theta},\tag{40}$$

که \parallel و \perp ، متناظر‌اند با بهترین حالتی که پاره خط مورد مشاهده موازی با افق یا عمود بر آن است.

شکل ۵ نمودار $[(\gamma/\gamma_0)_{\parallel} - 1]$ بر حسب θ_0 است. از این نمودار دیده می‌شود برا ی پاره خط‌ها‌ی موازی با افق، اندازه‌ی زاویه‌ای‌ی ظاهری کوچک‌تر از اندازه‌ی زاویه‌ای‌ی واقعی است، اما اختلاف نسبی‌ی این اندازه‌ها از مرتبه 10^{-4} است.

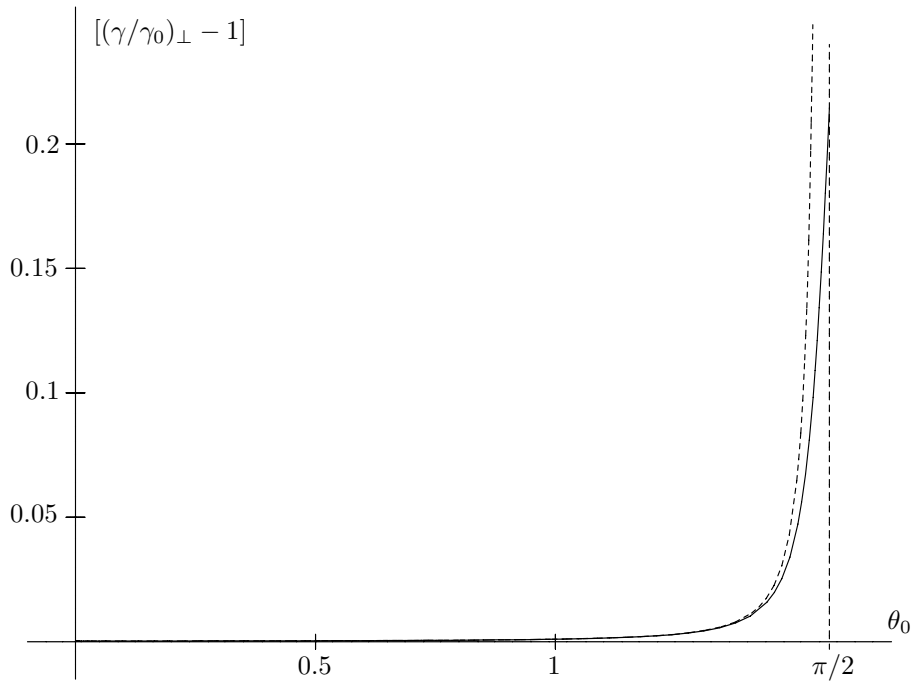


شکل ۵

نمودار $[(\gamma/\gamma_0)_{\parallel} - 1]$ بر حسب θ_0

شکل ۶ نمودار $[(\gamma/\gamma_0)_{\perp} - 1]$ بر حسب θ_0 است. از این نمودار دیده می‌شود برا ی پاره خط‌ها‌ی عمود بر افق هم، اندازه‌ی زاویه‌ای‌ی ظاهری کوچک‌تر از اندازه‌ی زاویه‌ای‌ی واقعی است. اما این بار اختلاف نسبی‌ی این اندازه‌ها، در نزدیکی‌ی افق چشم‌گیر است:

$$\left(\frac{\gamma}{\gamma_0}\right)_{\perp} \left(\theta_0 = \frac{\pi}{2}\right) = 1 + 0.2. \quad (41)$$



شکل ۶

نمودار $[(\gamma/\gamma_0)_\perp - 1]$ بر حسب θ_0 . خط‌چین نمودار Δ بر حسب θ_0 است.

نتیجه ۳

از نمودارها ی بخش پیش، دیده می‌شود

- اندازه‌ی زاویه‌ای ی ظاهری ی هر جسم، همواره کوچک‌تر از اندازه‌ی زاویه‌ای ی واقعی ی آن است.
- این اختلاف اندازه، جز زمانی که جسم نزدیک به افق است ناچیز است.
- تغییر اندازه ی ظاهری، در راستای موازی با افق همیشه ناچیز است، حتا وقتی جسم نزدیک افق باشد.

به این ترتیب، این که ماه و خورشید در نزدیکی ی افق بزرگ‌تر به نظر می‌رسند، یک پدیده ی روان‌شناسی است نه فیزیکی [3]. اما اندازه‌ی زاویه‌ای ی ظاهری ی ماه و خورشید در راستا ی عمود بر افق، واقعاً حدود ۲۰٪ کمتر از اندازه‌ی زاویه‌ای ی واقعی است. پس این که ماه و خورشید، در نزدیکی ی افق پنج می‌نمایند، یک پدیده ی فیزیکی است. ضمناً برا ی تحلیل این مسئله، فقط دو داده لازم است: Δ و σ . اول ی برابر است با ضریب شکست جو در سطح زمین منها ی یک، و دوم ی برابر است با ارتفاع مشخصه ی افت چگالی ی جو در سطح زمین تقسیم بر شعاع زمین.

4 مرجع‌ها

- [1] John David Jackson; “Classical electrodynamics”, 3rd edition (John Wiley & Sons, 1998) chapter 4
- [2] S. P. Strelkov; “Mechanics”, 3rd edition (Mir Publishers, 1969) section 97
- [3] Lloyd Kaufman & James R. Kaufman; “Explaining the moon illusion”, Proceedings of the National Academy of Sciences **97** (2000) 500

5 اسم‌ها ی خاص

- [a] Snell
- [b] Descartes
- [c] Boltzmann
- [d] Avogadro